異方性導電膜在智慧型標籤 的覆晶製程之研究

張天國* 楊志輝** 飛信半導體股份有限公司

*產品開發部 經理

**研發處 副總經理

摘 要

無線射頻辨識器(Radio Frequency Identification; RFID),廣泛應用在非接觸式卡或智慧型標籤(Smart Label)上,是一種以射頻感應方式來達到讀取資料的產品,只要結合讀取資料的讀取機(Reader)和電腦(PC System)連線,就可一次偵測出並自動讀取多筆甚至數十筆資料,其辨識及讀取資料的速度旣快且不易出差錯,可廣泛應用在零售商、量販店的貨物管理、旅行行李傳遞管理、牲畜身分與健康的管理,及圖書館書籍、CD的分類、編號、出借等管理。然而,如何使產品在封裝製程上更能符合輕、簿、短、小的需求,尤其在智慧型標籤方面,主要材料都是以高分子為基礎,材料分佈廣泛、取湯容易,且價格又便宜,但在封裝製程上仍有些技術有持克服,本文即針對寬晶熱壓技術搭配異方性導電膠膜材料的封裝製程作介紹。

關鍵詞

無線射頻辨識器(Radio Frequency Identification; RFID)、瓊晶(Flip Chip)、智慧型標籤(Tag/ Smart Label)、異方性導電膠(Anisotropic Conductive Film; ACF)

簡介

無線射頻辨識器(RFID)的系統包括詢答器(Transponder,智慧型標籤)、資料讀取器及主機電腦。詢答器

包括一異頻收發儀與(天線加上一顆IC)。讀取器則包括一天線、射頻模組 與控制模組,如圖一所示。

智慧型標籤是利用無線射頻(RF) 與讀卡機進行雙向數據傳輸,有效距 離從1mm到數米(m)不等。其電源是依賴讀卡機發射之無線射頻感應引起[2]。目前智慧型標籤主要的射頻頻率有:低頻(125KHz、傳輸距離<10cm)、中頻(13.56MHz、傳輸距離<70cm)、高頻(2.45GHz、傳輸距離<500cm),如表一所示。所應用的智慧型標籤尺寸從76×45mm到7×7mm,甚至更小的尺寸,總厚度約為0.3mm,又可隨意彎曲且不易損壞,只是比較不耐高溫環境。

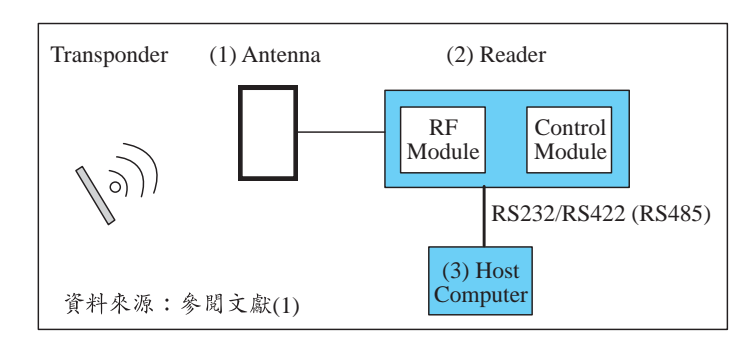
目前智慧型標籤主要由一顆RFIC 與一天線Inlay的基材薄膜接合而成, 如圖二所示。接合的方法,目前主要有打金線(Gold Wire Bond)與覆晶(Flip Chip)二種方式[3],且此產品都是以捲帶式(Reel to Reel)的封裝方式進行,產品符合輕、薄、短、小的需求。為了達到產出快速及品質穩定的目的,本章即針對異方性導電膠膜材料與Flip Chip封裝製程做一探討。

製程實驗

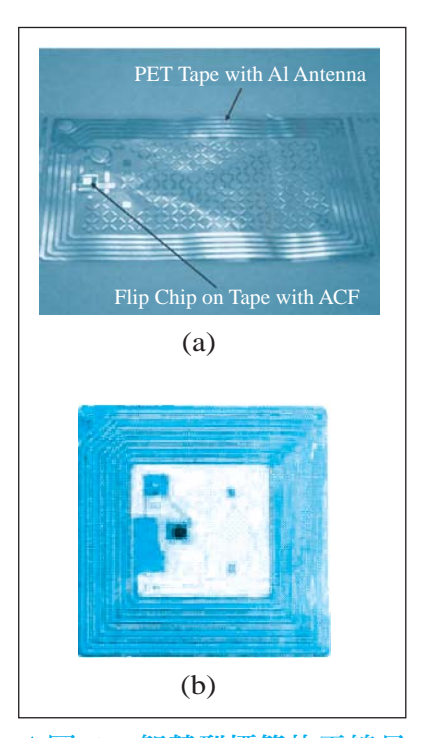
Smart Label製程如表二所示,覆 晶熱壓法主要分為兩階段製程,其動 作方式如圖三所示[4]。第一階段異方性

表一 智慧型標籤在不同等級射頻的應用

RF Frequency	Characteristic	Transmit Length
125KHz	Read Distance between Short	<10cm
	to Middle Length	
	Cheap Price	
	Read Speed Lower	
13.56MHz	Read Distance between Short	<70cm
	to Middle Length	
	Cheap Price	
	Read Speed Middle	
2.45~5.8GHz	Read Distance Long Length	>500cm
	Expensive	
	Read Speed High	



▲圖一 無線射頻辨識器應用系統



▲圖二 智慧型標籤的天線尺寸示意圖(a) 76×45mm; (b) 14×14mm

導電膠膜(ACF)預貼,吸膠頭吸取ACF 貼合在天線的基材接觸點處,此階段溫度顯示在工作平台上,溫度不宜過高,否則會易造成膠熔,影響到吸膠頭的真空孔因沾膠而阻塞,一般設定溫度在70-90°C之間。

第二階段為覆晶熱壓,將晶粒覆晶黏貼於異方性導電膠上,且熱壓頭快速加溫,使在很短的時間内讓黏膠裡的導電粒子(Conductive Particle)因受熱降低黏度而流動,致使晶粒上的金凸塊和基材(PET)上的天線接觸點,經ACF的導電粒子接觸完成電路導通。經Reader測試,Sample可通過6cm以上的傳輸距離即是Pass,如表三所示。其熱壓頭的溫度,一般設定在180~200°C之間。

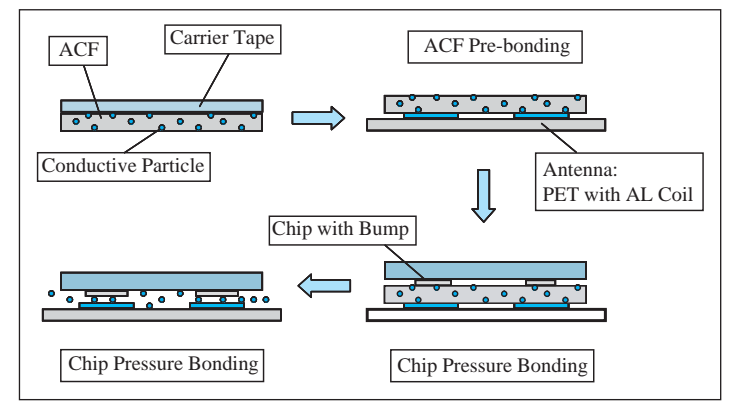
但是也需要適當的壓力參數去定義,接合壓力必須與接合條件適度搭配,若接合壓力 過高,將導致天線接觸點或金 凸塊變形,造成接觸點有間隙存在,或因壓合速度太快, 導電粒子受壓擠而快速流動, 呈現不規則分佈,甚至流失至 金凸塊接觸面積之外,致使只 有很少量的導電粒子留在接觸 點內,使電路電阻值過大而導 調不良,如圖四所示。

表二 智慧型標籤在覆晶製程的流程

Main Process	Material
Wafer Pre-test	
1	
Wafer Grinding	Chip
1	
Wafer Sawing (Chip)	Antenna Substrate
1	
ACF Pre-heat	ACF
1	
Flip Chip Thermal Pressure	
1	
Function Testing	
1	
Packing	

表三 實驗過程中的主要參數

Method	Material	Temperature	Force	Time
Pre-bonding	Antenna ACF	70~90°C	100g	1~2 sec
Flip Chip Bonding	Chip (GB)	180~200°C	150~200g	3~5 sec
Testing	Smart Label Reader 6~10cm (Reading Distance)			



▲圖三 覆晶製程使用異方性導電膠的方式

造成電路短路或斷路,一般設計接合壓力會與導電粒子大小有很大關聯,其金凸塊與天線接觸點的間隙應小於導電粒子大小,其IC晶粒表面與天線接觸點的最小間隙應大於導電粒子大小。當晶粒上的金凸塊越多時,所需接合壓力也要越大。一般參考設定接合壓力值,每一金凸塊接觸點為70~100g左右。

如覆晶熱壓的接合時間太短,會 造成黏不住(ACF的高分子還未反應 完成)而容易脫晶。時間太長則容易

使天線基材因受熱而 導致膨脹或變形,造 成對位(Alignment)問題,或ACF的高分子 反應完成呈硬化現分 而沒有黏性,致使IC 晶粒黏不住。所以會 依ACF材料特性的不 同,設計的時間參數 也有所不同。一般參 數ACF預貼設計為 1~2秒,覆晶熱壓設計為3~5秒。

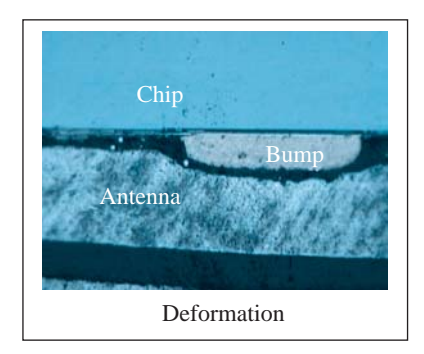
結果與討論

如表四所示,智慧型標籤主要結 構敍述如下。

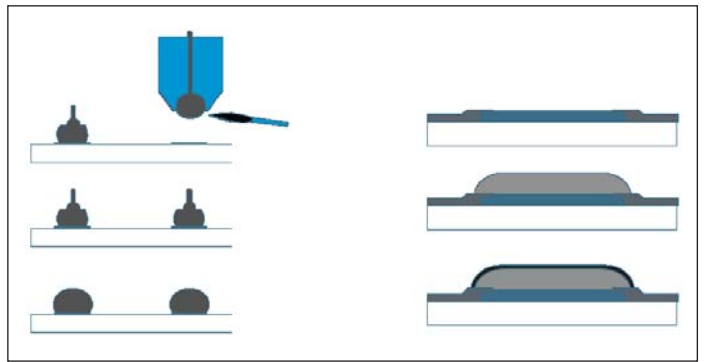
(一)IC晶粒:設計為兩個接觸點的金凸塊,且為兩種不同種類的金凸塊,如圖五所示。其一為Gold Plating Bump,面積為100×100μm²,厚度為20μm,此形狀為金凸塊廠一般製程。其二為Stud Ball Bump,圓直徑為100μm,厚度為40μm,其製程係利用

表四 智慧型標籤的主要材料規格

	Information	Condition	
Chip	RF-13.56MHz	Chip Size: 2×2×0.18mm	
		Gold Bump: 100×100×20μm	
Antenna Inlay	Size: 76×45mm	Substrate: PET(Thickness 50µm)	
		Antenna Wire: Al(Thickness 35µm)	
ACF	M-type	Film Thickness: 40µm	
		Particle Size: 5µm(Ni-particle)	
		Rectangular Grid	
	S-Type	Film Thcikness: 40μm	
		Particle Size: 5µm(Ni-particle)	
		Random Distribute	



▲圖四 晶粒與天線之間的 隙縫變形



▲圖五 金球凸塊(SBB)與電鍍金凸塊

打線機的植球功能製作成為金凸塊。 因為金屬的特性中,金的導電性最 佳。又因考量要符合產品輕、薄特 性,故IC晶粒須研磨至厚度很薄約 180mm,而且須考量金凸塊凸出面所 帶來的壓應力,而造成晶圓(Wafer)的 破裂風險。

(二)天線設計:為鋁箔與PET薄膜 基材,經黏貼壓合後,再將鋁箔蝕刻 成設計的天線線路形狀,因鋁的表面 經長時間催化,其表面會產生一層約 0.1~0.3μm的氧化鋁,就不再繼續氧 化,由於鋁有此種特性,所以選擇氧 化腐蝕較輕微的鋁為電路金屬。其鋁 線的厚度為50µm,PET薄膜基材的厚 度為50μm。因厚度薄面積大,在傳送 製程上很容易產生變形或彎曲,故使 用捲軸方式傳送天線薄膜基材,是較 為穩定的製程方式。

(三)異方性導電膠膜材料:一般 是由一定添加量的導電粒子均匀分佈 在環氧樹脂材料中,以B-stage的薄膜 形式存在,其膠膜厚度約為15~ 40μm, 當將ACF黏貼於IC的金凸塊與 天線薄膜線路接觸點之間後,利用適 當的壓力、溫度及時間,使得環氧樹 脂材料的黏度降低而開始流動並快速 壓合,而使得導電粒子與金凸塊及天 線上的鋁線接觸點壓合接著,而只做 單一方向(Z)的電性導通,其它方向 (XY)則不導通。

關於異方性導電膠膜[5][6]主要是由 環氧樹脂(樹脂Binder)、硬化劑及導 電粒子所組成。

- (1) 樹脂Binder:主要的功能是控 制濕氣、黏度接著強度、耐熱及絕緣 等功能。其大致可分為熱塑性或熱固 性材料,常見的有Epoxy、PEI、PI等 高分子。
- (2) 導電粒子[7]:一般為金屬粉 末,如銅,銀、鎳或表面塗佈金屬之 樹脂粒子,其形狀有片狀、樹枝狀、 粒狀、球狀。常見的粒徑範圍約在3~ 10μm,其含量約佔ACF體積的5~ 10% °

有關其它導電粒子組成結構之相 關資訊,請參閱參考文獻 [8~9]。

此實驗製程設計是使用新形式熱 固性的ACF(M-type)薄膜,與一般的 ACF(S-type)薄膜作比較,其厚度為 40μm。當壓合接著時,其多餘的絕緣 環氧樹脂可完全填滿天線線路的間 隙,且可完全封住整顆IC晶粒,省略 後製程(Under Fill)的步驟,而節省許多 製程時間。如圖六所示,M-type因導 電粒子在膠膜上採用二層鋪設(上層 導電粒子,下層為絕緣樹脂) 且每隔 25μm的陣列排列,其粒徑平均為4~ 5μm, 趨近圓形而外形呈不規則的Niparticle, 這種形狀更容易穿刺鋁線 層。此種排列更可增加導電粒子接觸 面積的數量,而又能穩定的分佈在接 觸點上,可改善以前ACF材料導電粒 子分佈不均的缺失,如圖七所示。 Sample經 Peeling的分析,可明顯看出 雙層膠膜與一層膠膜附著在金凸塊上 的導電粒子數量的差異。

然而,從實驗中得知[10],其雙層 膠膜經製程結束,附著在金凸塊上的 導電粒子數量,其穩定性比單層膠膜 為高,但若製程方向不一樣,其附著 在金凸塊上的導電粒子數量也會隨著 改變,導電粒子朝上方向與朝下方向 黏著,會因金凸塊壓合距離差異,而 對其製程後的結果影響甚鉅,如圖八 所示。

從流變儀分析出ACF(M-type)材料

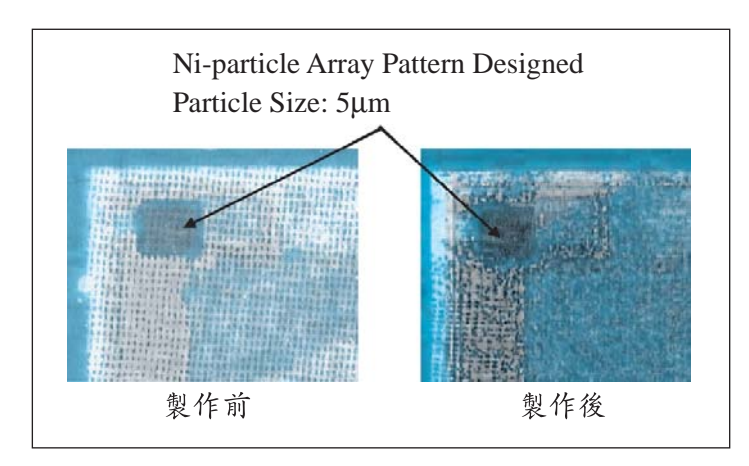
黏度的特性,如圖九所示,樹脂(高分子)鏈開始反應時的溫度是85℃,到達120℃時急速硬化。 其黏度最低、流動率最佳時點為溫度107℃,這些數據是製程參數設計的重要依據。

(四)環境可靠度試驗如表五所示,經由TCT & THT可靠度驗證,

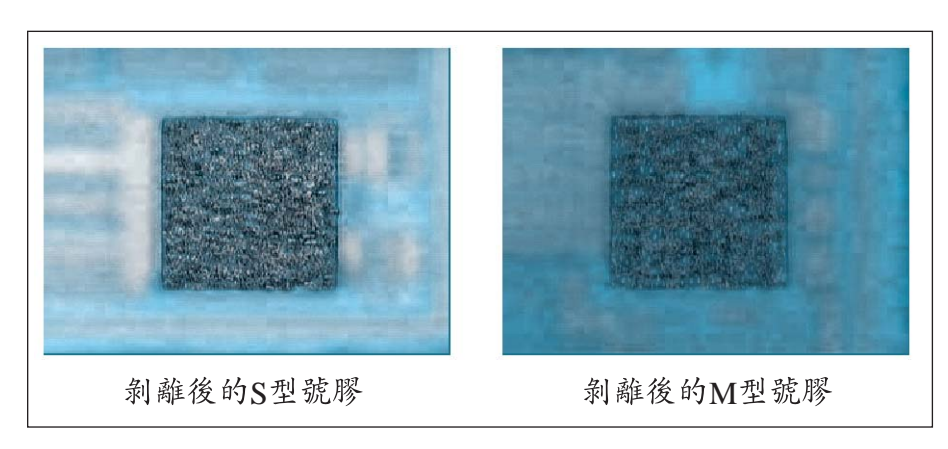
在高溫、高濕環境下,經500hrs後,出現Sample Failure;從SEM分析得知,如圖十所示,由於樹脂及導電粒子間的熱膨脹係數不同,當大氣環境改變之下(高溫、高濕),經長時間後,在電路導通連結上與ACF的導電粒子之間會產生缺口,導致Sample的電性連接不良。

結論

1. 覆晶熱壓參數之設計



▲圖六 鎳粒子分佈在金凸塊表面



▲圖七 兩種異方性導電膠的導電粒子分佈比較 (彩色圖片參見目錄頁)

Smart Laber Temperature Humidity Test (60 C/95%KH)						
Before			Cs	Rs	Q	
Reliability		Pass	500~600(pF)	500~600(kΩ)	0.48	
THT Test	Sample	Reader Test	Cs	Rs	Q	
100hrs	0/7	Pass	-	-	-	
		-	-	-	-	
300hrs	1/7	Pass	-	-	-	
		Fail	38.2pF	98kΩ	41	
TCT Test (-25~85°C)						
TCT Test	Sample	Reader Test	Cs	Rs	Q	
100cycle	0/7	Pass	532(pF)	565(kΩ)	0.54	
300cycle	0/7	Pass	504(pF)	605(kΩ)	0.63	

表五 高濕溫與高低溫的環境測試

Smart Label Temperature Humidity Test (60°C/95%RH)

製程參數面,材料的特性分析是製程參數設計在實驗中不可或缺的依據,尤其PET基材不耐高溫(Tg80°C),所以參數的設計非常重要,應從材料分析配合量測儀器的檢測,以提高製程能力。

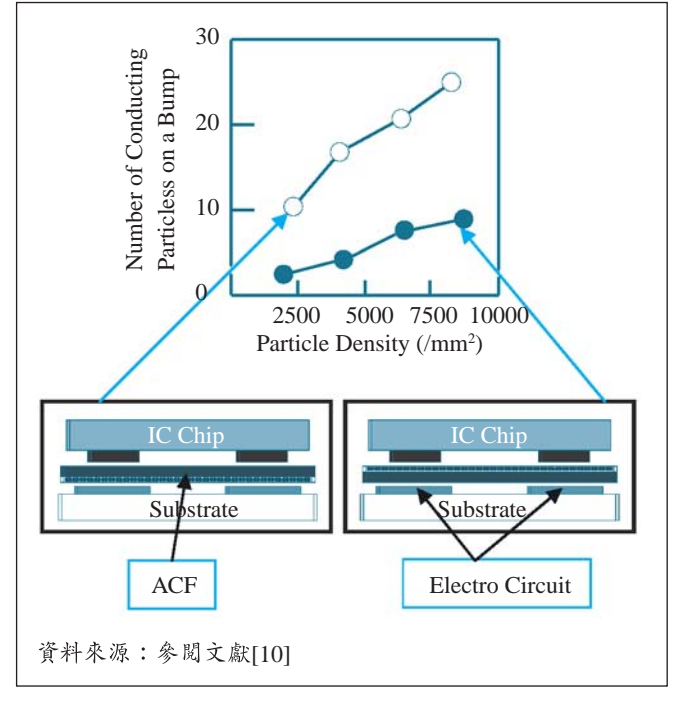
2. 天線與金凸塊的接觸 界面分析

覆晶後的接著強度,需做切片研磨試驗,方可確定導電粒子在兩者之間的接合狀況,且在經過高溫、高溼的可靠度試驗後,才能驗證其接著強度。

3. 黏著材料(ACF)的選

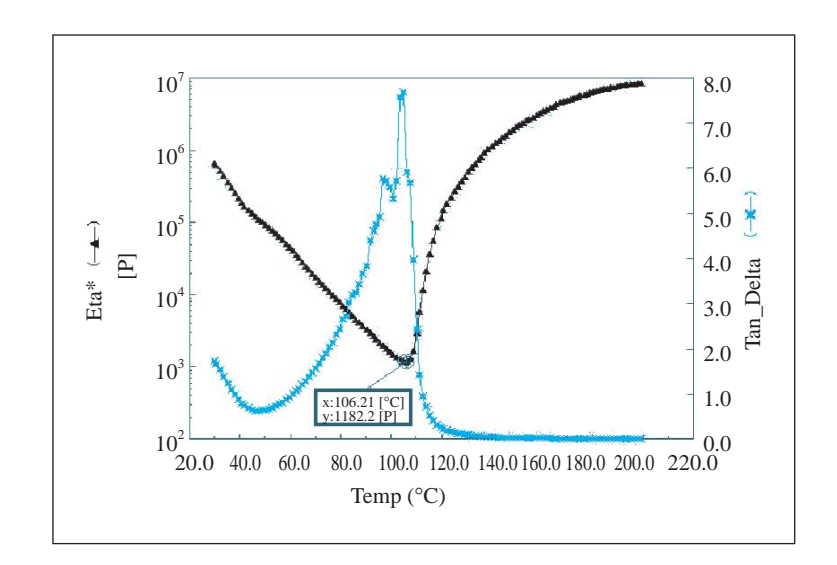
擇

①異方性導電膠仍需要在低溫儲 存,以保持其特性的安定性。

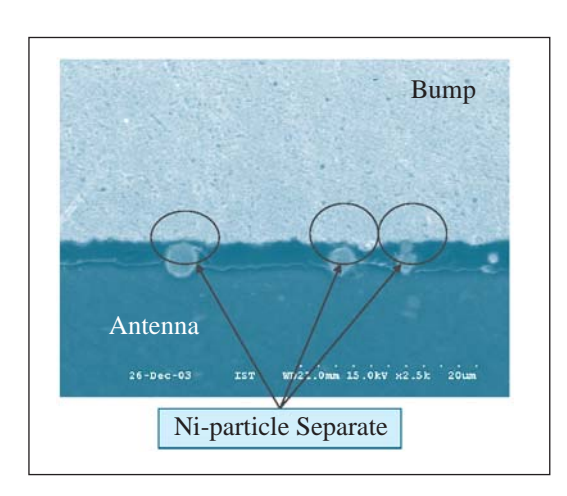


▲圖八 雙層的異方性導電膠其上下方向黏貼不同在金凸塊與晶粒造成的電性影響

②如何提昇異方性導電膠的接著 強度以及降低膠材吸水率,是未來須 探討的方向。



▶圖九 流變儀分 析異方性導電膠的 特性



▲圖十 經過高濕溫度測試後的失敗樣 品

③ACF材料中導電粒子的充填率及樹脂流動率、硬化特性,將影響到製程能力,須再研究探討。

参考文獻

1. Susy d'hont, Texas Instrument TIRIS, "The cutting edge of RFID technology and application for manufacturing and distribution", p2.

- 2. AIM. Inc. white paper, "Radio Frequency identification, RFID. A basic primer", version 1.11, Sep. 28, 1999
- 3.電子與材料雜誌第17期. "智慧型標籤封 裝簡介"
- 4. IEEE Trans. Comp., Package, Manufact. Technol. C, vol. 20, Apr. 1997.
- 5. Li L and Treliant F. Anisotropic conductive adhesive films for flip chip on flex packages. Proceedings of the 4th IEEE Conference on Adhesive Joining and Coating Technology in Electronics Manufacturing, 2000.
- 6. 工業材料雜誌 2002年 7月.
- Kazuo Ishibashi and Jun Kimura. A new anisotropic conductive flim with arrayed conductive particles. IEEE transactions on components package, and manufacturing technology - part B, VOL, NO. 4, November 1996.
- 8. 工業材料雜誌第147期,88年3月,"異方 性導電膠材料技術與應用"。
- 9. 工業材料雜誌第175期,90年7月,"異方性導電膠材料技術及其在覆晶構裝上的技術探討"。
- 10. K.Takemura, N. Shiozawa, and T. Ohta, "Double-Layer Anisotropic Conductive Adhesive Films," 1995 Display Manufacturing Technology Conference, Digest of Technical Papers.